

کلونینگ، بیان ژن، خالص سازی و تعیین خصوصیات آنزیم الاستاز حاصل از باکتری سودوموناس آئروجینوزا

سمیه احتشام^۱، سید محسن اصغری^۲، افسانه صدر ممتاز^۲

^۱ مریبی، گروه زیست شناسی، دانشکده علوم زیستی، دانشگاه آزاد اسلامی واحد پرند، تهران، ایران

^۲ استادیار، گروه زیست شناسی، دانشکده علوم پایه، دانشگاه گیلان، گیلان، ایران

^۳ کارشناس ارشد، گروه زیست شناسی، دانشکده علوم پایه، دانشگاه گیلان، گیلان، ایران

چکیده

سابقه و هدف: الاستاز حاصل از سودوموناس آئروجینوزا یک آنزیم مهم در زمینه مطالعات بنیادی بر روی Zn-Zn متالوپروتئازها و نیز بعنوان فاکتور ویرون‌لانس این باکتری مطرح است. در این مطالعه ژن مربوط به آنزیم الاستاز از سودوموناس آئروجینوزا (PAE) استخراج و کلون شده و پس از بیان و تخلیص، خصوصیات بیوشیمیایی آن شامل دما و pH بهینه و نیز فعالیت در حضور حلal های آلی گلیسرول، دی‌متیل فرمامید (DMF)، متانول، اتانول، اتیلن کلایکول و ایزوپروپانول مورد مطالعه قرار گرفت.

مواد و روش ها: تایید گونه باکتری با تست های بیوشیمیایی شامل سیترات، SIM، MR-VP و TSI انجام شد. DNA ژنومی توسط کیت استخراج و با پرایمر اختصاصی بوسیله PCR ژن الاستاز بدست آمد. کلونینگ در وکتور pET21a(+) با مکان های برش HindIII و NdeI صورت گرفت. ترانسفورماتیون به روش شیمیایی انجام شد. سپس سلول ها در محیط LB تحت القای IPTG ۱mM قرار گرفته و زمان و شرایط تولید بهینه گردید.

یافته ها: ژن الاستاز که بصورت پری پرو الاستاز کد می شود، درون وکتور pET21a(+) BL21 E. coli سویه آنلیز سکانس نوکلئوتیدی ژن یک چارچوب خوانش (ORF) دارای ۱۴۹۷ جفت باز کدکننده ۴۹۷ آمینواسید را نشان داد. بدنبال القاء به کمک IPTG، آنزیم فعال در درون سلول یافت شد. سپس آنزیم توسط کروماتوگرافی تمایلی تخلیص گردید. بررسی خصوصیات آنزیم از قبیل دمای بهینه، pH بهینه و غیر فعال سازی حرارتی برگشت ناپذیر انجام شد و همچنین فعالیت آنزیم در حضور حلal های آلی بررسی گردید و بخوبی نشان داده شد که آنزیم مذکور از مقاومت و فعالیت بسیار بالایی در حلal های آلی برخوردار است.

نتیجه گیری: آنزیم الاستاز سویه PTCC ۱۴۳۰ در مقایسه با آنزیم سویه PAO1، که ساختار کریستالی آن تعیین شده، تنها یک تغییر در ناحیه سیگنال را نشان می دهد. خصوصیات بیوشیمیایی نشان می دهد که الاستاز یک آنزیم با پایداری زیاد در حلal های آلی است.

کلمات کلیدی: سودوموناس آئروجینوزا، کلونینگ، بیان، خالص سازی

(نوترپنی - نقص سیستم عصبی) دیده می شود. عفونت های

مقدمه

سودوموناس آئروجینوزا می تواند هر بخشی از بدن را درگیر کند مثل مجرای تنفسی، پوست، استخوان ها، مجرای معدی روده ای و غیره (۱، ۲، ۳). علاوه بر بیماری زا بودن، این باکتری احتیاجات تغذیه ای کمی دارد و شرایط فیزیکی متنوعی را تحمل می کند. همچنین بخوبی برای زندگی و بقا در محیط های با غلظت بالای حلal های آلی سازگار است و نیز قادر به رشد در دماهای بالا و قادر به زنده ماندن در شرایط سخت می باشد.

سودوموناس آئروجینوزا (*Pseudomonas aeruginosa*) یک باکتری بیماری زای فرصت طلب است. بندرت باعث بیماری‌زایی در افراد سالم می شود و در عفونت ها، بویژه زمان نقصان سد دفاعی غیر اختصاصی (پوست- غشاء مخاطی) و یا سطح ایمنی

آدرس نویسنده مسئول: گروه زیست شناسی، دانشکده علوم زیستی، دانشگاه آزاد اسلامی واحد پرند، تهران، ایران
Email: smy.ehtesham@yahoo.com

تاریخ دریافت مقاله: ۱۳۹۱/۰۳/۰۱

تاریخ پذیرش: ۱۳۹۱/۰۴/۱۳

کلونینگ و بیان پروتئین های نوترکیب در *E. coli* می باشد، در این تحقیق بر آن شدیدم تا ژن الاستاز باکتری سودوموناس آئروجینوزا سویه PTCC ۱۴۳۰ که تا کنون الاستاز آن استخراج و کلون نشده است را به کمک وکتور pET21a+ در باکتری *E. coli* بیان کرده و سپس خصوصیات بیوشیمیایی آن را مطالعه کنیم.

مواد و روش ها

مواد

آنزیم های NdeI و Hind III جهت هضم قطعات نوکلئوتیدی از Ligation T4-DNA Ligase، آنزیم Fermentas از شرکت Fermentas و پلاسمید pET-21a⁺، جهت کلونینگ و بیان ژن مورد نظر از شرکت Invitrogen تهیه شد. سودوموناس آئروجینوزا سویه PTCC ۱۴۳۰ از مرکز کلکسیون قارچ ها و باکتری های صنعتی ایران خریداری گردید و جهت کلونینگ از *E. coli* سویه BL21 استفاده شد.

تست های بیوشیمیایی

محیط کشت سیترات محتوی معرف Bromothymol blue محیط کشت SIM به منظور بررسی تولید ایندول از تریپتوفان، محیط کشت MR-VP جهت بررسی تولید استوئین و محیط کشت TSI محتوی Phenol Red جهت بررسی تولید اسید از سه قند گلوکز، لاکتوز، سوکروز و تولید گاز استفاده شد.

استخراج ژن از باکتری سودوموناس آئروجینوزا

از تک کلون های بدست آمده، چند مورد بطرور مجزا در محیط LB کشت و با استفاده از کیت استخراج ژنوم باکتری (Bioneer, Korea) DNA ژنومی استخراج گردید. سپس با استفاده از پرایمر های اختصاصی forward با ترداد ۵'-G G A A T T C C A T A T G A A G A A G G T T T C T A C G C T T G A C - ۳' و reverse (Tm: 66°C) با ترداد ۵'-C G G A A G C T T T A C A A C G C G T C G G G C A G - ۳' PCR و به کمک کیت AccuPower PreMi واکنش PCR انجام شد. دمای annealing Tm براساس پرایمرها جهت تکثیر ژن الاستاز ۶۸°C و زمان extention نهایی ۲۰ دقیقه انتخاب شد. سپس محصول PCR با ژل الکتروفورز آگارز ۱٪ بررسی شد.

سودوموناس آئروجینوزا شماری از پروتئین های خارج سلولی از جمله پروتئاز الاستاز را ترشح می کند (۴). الاستاز قادر است انواع پروتئین ها از قبیل الاستین، فیبرین، مهارکننده پروتئیناز آلفا ۱ سرم IgG انسانی را هضم و یا غیر فعال کند. تحقیقات پیشین نشان داده اند که الاستاز نقش مهمی در بیماری زایی باکتری سودوموناس آئروجینوزا دارد (۵، ۶، ۷). تعیین خصوصیات الاستاز در پیچه هایی برای درک بهتر کاتالیز الاستاز و مکانیزم مولکولی عفونت های سودوموناسی فراهم آورده است. الاستاز یک Zinc-metalloprotease (neutral)، دارای یک اتم روی (Zn^{۲+}) به ازای هر مولکول می باشد. اتم روی برای فعالیت آنزیمی ضروری است. Zn- متاپروتئازها از تنوع زیادی برخوردارند. در هنگام کاتالیز، کاتیون دو ظرفیتی Zn^{۲+} این آنزیم ها سبب فعال نمودن مولکول های آب می گردند. یون فلزی توسط ۳ لیگاند آمینواسیدی نگهداری می شود. این لیگاندها برای اتصال به یون فلزی Asp، Glu، His یا Lys می باشد.

تا کنون ژن ساختاری الاستاز (*lasB*) از سودوموناس آئروجینوزا PAO1 و سودوموناس آئروجینوزا IFO3455 کلون و تعیین توالی ۴۹۷ است. محصول ابتدایی بیان ژن، یک پری پروا الاستاز با آمینو اسید (53/6 kDa) می باشد و پس از اتوالیز پروپیتیدهای انتهایی، الاستاز بالغ (33kDa) پدید می آید. بنابر این الاستاز بصورت پری پرو آنزیم ساخته شده، سپس ترادف سیگنال طی جابجایی از غشای داخلی برداشته شده و در نهایت آنزیم بالغ با ۳۰۱ آمینو اسید از طریق غشای خارجی ترشح می شود (۸). الاستاز از لحاظ ترادف آمینو اسیدی با دیگر متالوپروتئازهای شناخته شده همولوژی دارد (۹). همچنین تعیین ساختار سه بعدی الاستاز در سال ۱۹۹۱ آشکار ساخت که ساختار سه بعدی الاستاز با پروتئاز شناخته شده ترمولیزین همولوژی دارد (۱۰). در مقایسه با ترمولیزین که آنزیم شناخته شده این خانواده آنزیمی است، تاکنون مطالعات زیادی در رابطه با خواص بیوشیمیایی الاستاز، فعالیت آنزیمی و پایداری آن انجام نگرفته است. از سوی دیگر در مطالعات و تحقیقات بر روی آنزیم های این خانواده تاکنون تنها یک گزارش از بیان در وکتور pET در دسترس می باشد که مربوط به الاستاز نمی باشد (۱۱). با توجه به این که سیستم pET قویترین سیستم توسعه یافته جهت

سانتی گراد انکوبه شد (لازم به ذکر است که ابتدا بهینه کردن بیان در OD های مختلف انجام شد). پس از این مرحله با افزودن IPTG با غلظت نهایی 1mM ، محیط کشت در دمای 30°C درجه سانتی گراد انکوبه گردید. سپس در فاصله زمانی 4 ساعت، محیط کشت حاوی باکتری برداشته شده و جهت انجام مراحل بعدی مورد استفاده قرار گرفت. سوسپانسیون باکتریایی به مدت 20 دقیقه در 4500 rpm و دمای 4°C درجه سانتی گراد سانتریوفوژ رسو ب باکتری حاصل با افزودن بافر لیزکننده $\text{Tris } 20\text{mM}$ pmsf، 2mM (pH 7 با 2mM Buffer) به اندازه هم حجم رسو به حالت سوسپانسیون در آمد و سپس تحت سونیکاسیون (شامل 15 مراحل 20 ثانیه ای، با فواصل زمانی 40 ثانیه) قرار گرفت. جهت جلوگیری از دناتوراسیون آنزیم، تمامی مراحل سونیکاسیون درون یخ انجام گرفت. سلول های لیز شده در سانتریوفیوژ شد. مایع رویی و رسو حاصل از سانتریوفیوژ که به ترتیب به منزله پروتئین های محلول و نا محلول هستند، جهت آنالیز بیان بر روی ژل اکریل آمید الکتروفوروز بارگذاری شدند.

خالص سازی

به منظور خالص سازی پروتئین نوترکیب، کروماتوگرافی تمایلی با استفاده از ستون نیکل آگارز استفاده شد. نمونه پروتئینی NaH_2Po_4 50mM روی ستونی که توسط بافر شستشو حاوی، $\text{NaCl } 300\text{ mM}$, ایمیدازول 20 mM به تعادل رسیده بود، برده شد و پس از شستشو با همان بافر، جهت جداسازی پروتئین از ستون، از بافر شستشوی NaH_2Po_4 50mM , رقابت ایمیدازول موجود در بافر با دنباله هیستیدینی برای اتصال به نیکل سبب خروج پروتئین از ستون می گردد.

SDS-PAGE

با استفاده از ژل پلی اکریل آمید 12% و بر اساس روش Laemmli تحت شرایط احیایی انجام شد. پس از انجام الکتروفوروز، ژل به مدت 60 دقیقه در رنگ کوماسی بلو- $G250$ قرار داده شد و سپس رنگ ژل خارج و رنگ بری شد.

سنجرش فعالیت

بدین منظور، سنجرش فعالیت آنزیمی با استفاده از سوبسترای

ترادف ژنی با استفاده از پرایمرهای اختصاصی به سفارش شرکت فرابیوتک تعیین گردید. پس از تایید نهایی، ژن الاستاز جهت کلونینیگ بکار گرفته شد.

کلونینیگ

محصول PCR توسط کیت تخلیص گردید پس از کشت باکتری حامل وکتور pET-21a^+ در محیط LB، وکتور به کمک کیت استخراج شد. وکتور pET-21a^+ و همچنین ژن الاستاز ابتدا توسط آنزیم HindIII بصورت زیر هضم شدند. هضم آنزیمی ژن Buffer $6\text{ }\mu\text{l}$ ، DNA $25\text{ }\mu\text{l}$ ، و هضم آنزیمی pET-21a^+ با شرایط $1\text{ }\mu\text{l}$ Buffer $6\text{ }\mu\text{l}$ ، Enzyme $2\text{--}3\text{ }\mu\text{l}$; Buffer $6\text{ }\mu\text{l}$; Vector $45\text{--}50\text{ }\mu\text{l}$ و Enzyme $1.5\text{ }\mu\text{l}$; Buffer $1\text{ }\mu\text{l}$ با شرایط 37°C درجه سانتی گراد شد. پس از 16 ساعت انکوباسیون در دمای 65°C درجه سانتی گراد بمدت 10 دقیقه متوقف گردید و محصولات هضم آنزیمی بر روی ژل آگارز 1 درصد بررسی شدند. سپس محصولات هضم مورد نظر توسط کیت تخلیص PCR بازیابی شدند و این بار توسط آنزیم محدودالاثر NdeI با شرایط $1.5\text{ }\mu\text{l}$ Enzyme; Buffer با شرایط $40\text{ }\mu\text{l}$; Vector/DNA $40\text{ }\mu\text{l}$; Buffer با شرایط $1\text{ }\mu\text{l}$ با شرایط 37°C درجه سانتی گراد قرار داده شد و 16 ساعت در بن ماری 37°C درجه سانتی گراد قرار داده شد و محصولات واکنش هضم روی ژل آگارز 1 درصد بررسی گردید. جهت جاگذاری (ligation) ژن مقدار $6/5$ میکرولیتر از ژن $1/5$ الاستاز هضم شده در یک میکروتیوب ریخته شد. سپس $1\text{ }\mu\text{l}$ میکرولیتر بافر جا گذاری و $1\text{ }\mu\text{l}$ میکرولیتر آنزیم- T4 DNA Liga- به محلول DNA افزوده شد و در نهایت 1 میکرولیتر وکتور se به محلول pET21a^+ هضم شده به میکروتیوب افزوده شد. میکروتیوب بمدت 1 ساعت در دمای 37°C درجه سانتی گراد انکوبه شد. به منظور 16 ساعت در دمای 4°C درجه سانتی گراد حفظ شد. سپس وکتور نوترکیب به میزان $E. coli$ BL21 DE3 منتقل (ترانسفورم) شد. پس از استخراج وکتور، تعیین توالی توسط شرکت SEQLAB آلمان انجام شد.

بیان

50 میکرولیتر باکتری رشد کرده به 500 میلی لیتر محیط کشت LB حاوی آمپی سیلین 100 mg/ml انتقال داده شد (تلقیح 1%) و تا افزایش $OD_{1/1}$ به حدود 37 درجه $1/1$ در

جدول ۱- تست های بیوشیمیایی شناسایی گونه.			
تست ها	<i>Pseudomonas aeruginosa</i>	<i>Pseudomonas aeruginosa</i>	
	PTCC 1430	PAO1	
TSI			
Glu-Suc-Lac	+	+	
H ₂ S	-	-	
Protein	+	+	
SIM			
Indole	-	-	
Malonate	-	+	
Citrate	+	+	
MR-VP			
MR	-	-	

A: Gel electrophoresis of DNA extracts. Lanes 1 and 2 show bands corresponding to the two strains. M: Molecular weight marker.

B: Gel electrophoresis of PCR products. Lanes 1 and 2 show bands at the 1500 bp position. M: Molecular weight marker.

شکل ۱- (A) محصول استخراج DNA ژنومی. ۱. DNA ژنومی، ۲. مارکر وزن مولکولی (B) ژل PCR ژن الاستاز. ۱. مارکر وزن مولکولی، ۲. محصول PCR از ژنومی

کلونینگ الاستاز

پس از تایید ترادف نوکلوتیدی، ژن الاستاز در یک وکتور بیانی pET-21a⁺ جاگذاری گردید. بدین منظور ژن و حامل pET-21a⁺ تحت هضم آنزیمی با آنزیم محدود الاثر Hind III قرار داده شده و پس از تخلیص و استخراج محصولات هضم شده توسط کیت، ژن الاستاز و حامل pET-21a⁺ مجدداً تحت برش آنزیمی توسط آنزیم محدود الاثر NdeI قرار گرفتند. جهت اطمینان از انجام هضم، پلاسمید هضم نشده‌ی pET-21a⁺ نیز به عنوان کنترل برش داده شد. سپس کلیه نمونه‌های هضم شده روی ژل آگارز ۱% الکتروفورز شد. ژن الاستاز و ناقل هضم شده

کازئین انجام شد (۱۲). ۲۰ میکرولیتر از محلول آنزیمی با غلظت مناسب به ۴۸۰ میکرولیتر محلول کازئین ۱٪ تهیه شده در بافر EDTA, ۱mM ۵ mM، کلرید کلسیم ۱mM، کلرید روی ۳۷°C و PMSF ۱mM اضافه گردید و بمدت ۳۰ دقیقه در دمای درجه سانتی گراد انکوبه شد. سپس ۵۰۰ میکرولیتر محلول تری کلرواستیک اسید (TCA) ۱۰٪ (W/V) به محلول واکنش اضافه شد تا واکنش متوقف و کازئین های هیدرولیز نشده رسوب کند. پس از ۲۰ دقیقه انکوباسیون در دمای ۴ درجه سانتی گراد، مخلوط واکنش با ۱۴۰۰۰ rpm ۲۸۰ نانومتر به عنوان معیاری از فعالیت آنزیمی سنجش شد. مخلوط مشابهی با این تفاوت که آنزیمی را اضافه شد به عنوان بلانک در نظر گرفته شد.

یافته ها

تایید گونه باکتری و استخراج ژن الاستاز

نوع باکتری، با استفاده از تست های بیوشیمیایی و میکروبی تایید شد. نتایج بدست آمده از سویه ۱۴۳۰ در مقایسه با سویه گزارش شده PAO1 در جدول ذیل آورده شده است. سپس DNA ژنومی از باکتری استخراج گردید (شکل A1). سپس با استفاده از DNA ژنومی بدست آمده به عنوان الگو و بهره گیری از یک جفت پرایمر برای ژن الاستاز، که بر اساس PAO1 تراالف ژنی الاستاز حاصل از باکترئوجینیوز/سویه طراحی گردید، تکثیر ژن الاستاز با PCR انجام شد. به منظور تأیید تکثیر قطعه DNA مورد نظر، محصولات PCR روی ژل آگارز برده شد (شکل B1). نتیجه حاصل از ژل فوق حاکی از تکثیر یک قطعه با اندازه‌ای منطبق با اندازه ژن مورد نظر می‌باشد. جهت تایید نهایی قطعه بدست آمده با کیت تخلیص و جهت تعیین تراالف ارسال گردید که نتیجه حاصل از تعیین تراالف DNA نشان داد که قطعه حاصل از PCR همان ژن الاستاز مورد نظر بوده است.

atagaqaaggcttacgctgcacccgttgttcgttgccatgggtttccggccgc 60
MKV K V S T L D F L V A I M G V S P A
gttcttgcgcgcacgtcgtacgcgttgtccaaactccccacgcggccggccggc 120
A F A A D L D I V D S K L P S K A A Q G A
ccggccgcgttgtccatgtccgcggccgggtcgccgttgtccgtgcgcggaa 180
acccgcgcacgcacggccatgtcccaacccgcggccgcgttgtccgcgc 240
IR S T L T P N G K O V E R F O H N
ggcgtacgggttgtccggggagccatcacccggatgtccggccgtacgc 300
G V R V V G A I T E V T K G P G K C G
gegcacgcacggccatgtccgcggccatgtccgtgcggccgtccggccggc 360
A Q R S G H F V A N I A D A L P F G S T I T
cgccgttgtccggccacgttgtccgcggccgtccggccggccggccggc 420
A A S D A E Q V Q V L A G A K S F P A O G F
aacagccggatgtacccatgtccgcggccgtccggccggccggccggc 480
F E N D K V E L L V I R L C G G A A Q
ctgggtatcacccatgtccgtatgtccggccggccggccggccatgtcc 540
L V X N V S Y S T L I P G G E L S R P H F V
atcgccggccaaacggccggccgttgtccggccggccggccggccggccggc 600
I D A K T G E V L L D Q W E G L A H A E A
ggggccggccggccggccggccggccatgtccggccggccggccggccggc 660
C G N Q K R G K A C G C G C A C G C G C A C G C G A C G A C 720
ctggatgtccacccatgtccgtatgtccggccggccggccggccggccggc 780
L I V N N D R C S T K T P R F F A C P T N T Y
agccacggccacggccacggccacggccacggccgttgtccgtccgtcc 840
S S T D D S K T T P R F F A C P T N T Y
aacggatgtccggccgtatgtccggccgttgtccgtccgtccgtccgtcc 900
O V N N G A Y S P F L N D A H F F F G G V V
tccaaactgtccggccgttgtccgtccgtccgtccgtccgtccgtccgtcc 960
V H Y G C F S V E N A Y W D G T A M L F G
gacggccggccacatgttctatgtccgttgtccgtccgtccgtccgtcc 1020
D G T A M T F Y P F L V S L D V A A N E V S
caccgttccacccggacgacaaatccggccgttgtccgtccgtccgtcc 1080
H G F T E Q N S G L I Y R T R G Q G M N
gaaggccgttgtccgtccgttgtccgtccgtccgtccgtccgtccgtcc 1140
V H Y G C F S V E N A Y W D G T A M L F G
gacggccggccacatgttctatgtccgttgtccgtccgtccgtccgtcc 1200
F L I G G Y D I K H G K S G L R Y R M D O P
agccggccggccgttgtccgtccgtccgtccgtccgtccgtccgtccgtcc 1260
S R D G C S I D N A M S Q Y V N G I D V H
cacttcggccgttgtccatccggccgttgtccatccggccgttgtccgtcc 1320
H S G V Y N F A F Y L L A N S P G W D
acccgcacggccgttgtccgttgtccgtccgtccgtccgtccgtccgtcc 1380
aacttcacacggccgttgtccgttgtccgtccgtccgtccgtccgtcc 1440
N Y N S G C G G A T C G G V I R S A Q N R N Y S A
gtccgttgtccacccggccgttgtccgttgtccgttgtccgttgtccgtcc 1500
A D V T R T R A F S T V G V T C P S A L -

شکل ۳- تراویف نوکلئوتیدی و آمینو اسیدی استخراج شده ژن کد کننده پری پروالاستاز.

بيان و خالص سازی الاستاذ

بیان ژن الاستاز در سلول های E. coli BL21 توسط القاگر IPTG 1mM در دمای ۳۷ درجه سانتی گراد با هوا دهی مطلوب انجام گرفت. پس از گذشت ۴ ساعت از زمان شروع القاء، آنالیز پروتئین های محلول و نامحلول با استفاده از ژل SDS-PAGE در قسمت نامحلول (Inclusion body) پروتئین یک باند پروتئینی جدید در ناحیه حدود ۵۵ kDa ظاهر شد اما در آنالیز قسمت محلول (سوپرناتانت) پروتئین به چشم نیامد. همان طور که در دیاگرام مربوطه نیز نشان داده شده است این امر حاکی از بیان پرو آنزیم می باشد. سپس بررسی غلظت های مختلف IPTG و زمان های مختلف انجام گردید. این مرحله به منظور بهینه کردن مدت زمان بیان در فواصل مختلف از باکتری های القاء شده نمونه برداری شد و با این شرایط پروتئین در فاز محلول آشکار شد. با انجام بیان در زمان های مختلف، دمای ۳۷ درجه سانتی گراد و مدت زمان ۴ ساعت بعد از القاء مناسب ترین شرایط تشخیص داده شد. آنچه بدست آمد یک باند قوی در محدوده حدود ۵۵ کیلو دالتون بود. با وجود دنباله هیستیدینی، عمل خالص سازی براحتی با استفاده از کروماتوگرافی تمایلی انجام گردید (شکل ۴).

مجدداً توسط کیت خالص شده و پس از آن ۳ میکرولیتر از هر یک، روی ژل آگارز ۱ درصد بررسی و در مقایسه با وزن نمای DNA (DNA Ladder) غلظت قطعه ژن درخواستی و ناقل (DNA Ladder) بیانی به ترتیب $20\text{ ng}/\mu\text{l}$ و $70\text{ ng}/\mu\text{l}$ تعیین شد. از آنجا که وکتور نوترکیب بیانی حاوی ژن مقاومت به آمپی سیلین بود، به کمک محیط کشت حاوی آمپی سیلین امکان جداسازی کلون های حاوی وکتور فراهم شد. به منظور انتخاب کلونی های حاوی وکتور نوترکیب بیانی به طور تصادفی کلونی های BL۲۱ انتخاب و پس از استخراج پلاسمید از این ترنسفورم شده PCR روش نامبرده باکتری Colony برده شد و نتیجه های این کلونی ها به منظور تأیید انتقال پلاسمید حاوی ژن الاستاز به باکتری نامبرده مشاهده گردید (شکل ۲).

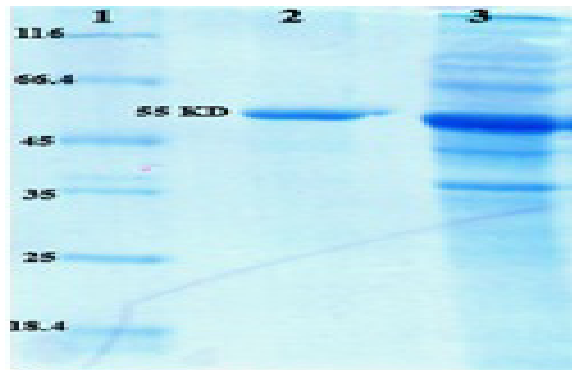
شکل ۲. آنالیز محمولات Colony-PCR با استفاده از الکتروفوروز *BL21* حاوی پلاسمید نوترکیب *L* مارکر ون مولکولی، *DNA*، *RNA* و *Protein* در *E. coli* *BL21* (DE3) تولید کننده *α*-امیوپروپینول نتیجه ای از این تجزیه میتواند *α*-امیوپروپینول باشد.

در نهایت با تعیین ترادف وکتور بر اساس پرایمراهی پرومومتر T7، کلونینگ تایید گردید. توالی نوکلئوتیدی که در شکل ۳ آمده نشان می دهد که نوکلئوتیدهای شماره ۱ تا ۶۶ مربوط به توالی سیگنال پیتید، نوکلئوتیدهای شماره ۵۹۱ تا ۵۹۷ مربوط به توالی پروپیتید و نوکلئوتیدهای شماره ۵۹۲ تا ۱۴۹۷ توالی آنزیم بالغ را شامل می گردند.

جدول ۲. خصوصیات بیوشیمیابی آنزیم الاستاز نوترکیب. فعالیت آنزیمی با سوپرترای کاژئن تعیین شد.		
۶۰ درجه بینه (°C)	pH ۸/۵ بهینه	(دقیقه) در دماهای $t_{1/2}$
۵۵ °C	۱۵۰	
۶۰ °C		۱۱۲
۶۵ °C		۴۷
۷۰ °C		۳۲
۷۱ °C		۱۸
۸۱ °C		۸
۸۵ °C		۴
فعالیت (%) در غلظت ۵۰٪ حلال های		
گلیسرول		>۱۰۰
دی متیل فرمامید		>۱۰۰
اتیلن گلیکول		>۱۰۰
متانول		>۱۰۰
اتانول		>۱۰۰
ایزوپروپانول		۷۵
		۵۵

بحث

در این تحقیق ژن مربوط به آنزیم الاستاز حاصل از باکتری سودوموناس آئروجینوز/ سویه PTCC1430 جداسازی و کلون گردید و پس از خالص سازی، خصوصیات بیوشیمیابی آن مورد بررسی قرار گرفت. در موارد زیادی بیان در سیستم های بیانی pET بدليل تشکیل اجسام توده ای (inclusion bodies) با مشکل مواجه می گردد، اما در تحقیق حاضر چنین مشکلی با بکارگیری بافر لیز سلول فاقد نمک کلرید سدیم برطرف گردید. مقایسه ترادف نوکلئوتیدی نشان می دهد که ژن الاستاز سودوموناس آئروجینوز/ PTCC 1430 با ژن الاستاز سودوموناس آئروجینوز PAO1 تنها در نوکلئوتید شماره ۲۶ تفاوت دارد. این تفاوت



شکل ۴. خالص سازی پروالاستاز با استفاده از کروماتوگرافی تمایلی.
۱) مارکر وزن مولکولی پروتئین. ۲) پروتئین خالص بدست آمده از ستون نیکل آگارز. ۳) محصول لیز سلولی قبل از ستون. برای توضیحات بیشتر به ماد و روش ها مراجعه کنید.

در قدم بعدی بالغ سازی (maturation) یعنی دستیابی به آنزیم بالغ با وزن مولکولی حدود ۳۳ کیلو دالتون از پروآنزیم بهینه شد. بررسی شرایط متعدد و عوامل گوناگون نشان داد که حذف کامل نمک NaCl با غلظت ۳۰۰ میلی مولار از بافر لیز کننده باکتری باعث بلوغ آنزیم در فاز محلول می شود.

خصوصیات بیوشیمیابی آنزیم

Zn-متالوپروتئازها در سنتز پپتید و تولید شیرین کننده آسپارتام کاربرد دارند (۱۳). از آنجا که این فرایندها در حضور حلال های آلی انجام می شوند، پایداری این آنزیم ها در حلال های آلی از اهمیت کاربردی برخوردار است. خصوصیات بیوشیمیابی آنزیم خالص شده شامل دمای بهینه، pH بهینه، نیمه غیر فعال سازی حرارتی در دماهای ۵۵، ۶۰، ۶۵ و ۷۰ درجه سانتی گراد مطابق با مطالعات پیشین (۱۴، ۱۵) تعیین گردید. همچنین پایداری آنزیم در حضور حلال های آلی مختلف شامل گلیسرول، دی متیل فرمامید (DMF)، اتیلن گلیکول، متانول، اتانول و ایزوپروپانول با اندازه گیری میزان درصد فعالیت آنزیم در حضور غلظت ۵۰٪ (v/v) این حلال ها مورد مطالعه قرار گرفت (جدول ۲). بر اساس نتایج بدست آمده دمای بهینه آنزیم در محدوده مابین آنزیم های مزووفیل و ترموفیل می باشد. pH بهینه آنزیم تا حدی قلیابی است و همان گونه که انتظار می رود، در دماهای بالاتر از دمای بهینه، آنزیم غیر فعال می شود که این پدیده در تمام پروتئازها به سبب اتولیز در دماهای بالاست.

منجر به تغییر کدون مربوط به آمینواسید مربوطه از لوسین به پرولین می گردد. بنابراین ساختمان آنزیم بالغ بطور کامل مشابه آنزیم سویه (PAO1 PDB code: 1EZM) است. بر اساس نتایج بدست آمده، یکی از خصوصیات مهم آنزیم مذکور پایداری بسیار زیاد در حلال های آلی است بطوری که در حضور غلظت ۵۰٪ از اکثر حلال های آلی حتی فعالیتی بیش از حالت کنترل (عدم حضور حلال آلی) از خود نشان می دهد. این ویژگی، همانگونه که بدان اشاره شد، از نقطه نظر کاربردی حائز اهمیت است.

تشکر و قدردانی

نویسنده‌گان تشکر خود را از معاونت محترم پژوهشی دانشگاه آزاد اسلامی واحد پرند و آزمایشگاه بیوشیمی دانشکده علوم پایه دانشگاه گیلان ابراز می دارند.

منابع

- (1) Adekoya OA, Sylte I. The Thermolysin Family (M4) of Enzymes: Therapeutic and Biotechnological Potential. *Chem Biol Drug Des*, 2009; 73: 7-16.
- (2) Asghari SM, Khajeh K, Badoei Dalfard A, Pazhang M, Karbalaei-Heidari HR. Temperature, Organic Solvent and pH Stabilization of the Neutral Protease from *Salinovibrio Proteolyticus*: Significance of the Structural Calcium, 2011; 44: 665-668.
- (3) Asghari SM, Pazhang M, Ehtesham S, Karbalaei-Heidari HR, Taghdir M, Sadeghizadeh M, Naderi-Manesh H, Khajeh K. Remarkable Improvements of a Neutral Protease Activity and Stability Share the Same Structural Origins. *Protein Eng. Des ,Sel*, 2010; 23: 599-606.
- (4) Braun P, Tommassen J, Filloux A. Role of the Propeptide in Folding and Secretion of Elastase of *Pseudomonas Aeruginosa*, *Mol, Microbiol*, 1996; 19: 297-306.
- (5) Gray GL, Vasil ML. Isolation and Genetic Characterization of Toxin-Deficient Mutants of *Pseudomonas Aeruginosa* PAO, *J, Bacteriol*, 1981; 147: 275-28.
- (6) Haas D, Defago G. Biological Control of Soil-Borne Pathogens by *Pseudomonas* Fluorescent. *Nat Rev Microbiol*, 2005; 3: 307-19.
- (7) Hazlett L, Rudner X, McClellan s, Barrett B, Lighvani S. Role of IL-12 and IFN-γ in *Pseudomonas Aeruginosa* Con-real Infection. *IOVS*. 2002; 43; 419-424.
- (8) Heck LW, Morihara K, McRae WB, and Miller EJ. Specific Cleavage of Human Type III and IV Collagens by *Pseudomonas Aeruginosa* Elastase. *Infect, Immun*, 1986; 51: 115-118.
- (9) Holder IA. The Pathogenesis of Infection Owing to *Pseudomonas Aeruginosa* Using the Burned Mouse Model: Experimental Studies from the Shriners Burns Institute, Cincinnation. *Can J Microbiol*, 1985; 31: 393-402.
- (10) KonY, Tsukada H, Hasegawa T, Igarashi K, Wada K, Suzuki E, Arakawa M, Gejyo F. The Role of *Pseudomonas Aeruginosa* Elastase as a Potent Inflammatory Factor in a Rat Air Pouch Inflammation Model. *FEMS Immunol Med Mic*. 1999; 25:313-321.
- (11) Pazhang M, Khajeh K, Ranjbar B, Hosseinkhani S. Effects of water-miscible Solvents and Polyhydroxy Compounds on the Structure and Enzymatic Activity of Thermolysin. *J Biotechnol*. 2006; 12: 745-753.
- (12) Robert A. Bever and Barbara H. Igleski. Molecular Characterization and Nucleotide Sequence of the *Pseudomonas Aeruginosa* Elastase Structural Gene. *J Bacteriol*. 1988; 170: 4309-4314.
- (13) Thayer MM, Flaherty KM, McKay DB. Three-Dimensional Structure of the Elastase of *Pseudomonase aeruginosa* at 1.5-A resolution. *J Biol Chem*, 1991; 266: 2864-2871.
- (14) Titani K, Hermodson MA, Ericsson LH, Walash KA, Neurath H. Amino-acid Sequence of Thermolysin. *Nature*, 1972; 238: 35-37.
- (15) Xie BB, Bian F, Chen XL, He HL, Guo J, Gao X, Zeng YX, Chen B, Zhou BC, Zhang YZ. Cold Adaptation of Zinc Metalloproteases in the Thermolysin Family from Deep Sea and Arctic Sea Ice Bacteria Revealed by Catalytic and Structural Properties and Molecular Dynamics: New Insights into Relationship Between Conformational Flexibility and Hydrogen Bonding *J Biol Chem*, 2009; 284: 9257-9269.